

تولید متابولیپوتیناز ۶۳ کیلودالتونی (gp63) لیشمانیا مازور در مخمر Pichia pastoris

علی اکبر شعبانی^{۱*}(Ph.D)، مک‌مستر روبرت^۲(Ph.D)، بهرام کاظمی^۴(Ph.D)،
محسن کریمی^۱(M.Sc)، دلاور شهباززاده^۱(Ph.D)، فریدون مهیودی^۱(Ph.D)

۱- انتستیتو پاستور ایران، بخش بیوتکنولوژی، تهران

۲- مرکز مطالعات بیوتکنولوژی، دفتر همکاری‌های فن‌آوری ریاست جمهوری اسلامی ایران، تهران

۳- دانشگاه بریتیش کلمبیا، دپارتمان ژنتیک پزشکی، کانادا

۴- دانشگاه علوم پزشکی شهید بهشتی، دانشکده پزشکی، بخش بیولوژی مولکولی

۵- دانشگاه علوم پزشکی سمنان، دانشکده پزشکی، گروه انگل و میکروبیولوژی

خلاصه

سابقه و هدف: با توجه به مشکلات ناشی از لیشمانیا به عنوان یک انگل داخل سلولی بیماریزاکه بیش از ۱۲ میلیون نفر را در بیش از ۸۶ کشور جهان مبتلا نموده است و در راستای ارزیابی توانایی گلیکوپروتئین ۶۳ کیلودالتونی (gp63) لیشمانیا مازور به عنوان یک اینموزن در تحریک سیستم ایمنی میزبان و همچنین آن‌تی ژن تشخیصی، ژن کد کننده مولکول فوق در وکتور دو میزبانه pHIL-S1 به منظور بیان آن ژن در مخمر متیلوتروف P.pastoris کلون و بیان گردید و در نهایت خصوصیات مولکول نوترکیب حاصل نیز مورد ارزیابی قرار گرفت.

مواد و روش‌ها: ژن تغییر یافته gp63 به گونه‌ای که فقط پروتئین بالغ را کد نماید، در وکتور دومیزبانه (و همچنین پلاسمید puc19) کلون گردید. مخمر Pichia pastoris (سویه‌های KM71 و GS115) با پلاسمید دومیزبانه pHIL-S1 (به تنهایی) ترانسفورم گردید. کلون‌های ترانسفورم شده در محیط فاقد هیستیدین انتخاب شدند. DNA کروموزومی ترانسفورمنت‌ها تخلیص گردید و با روش‌های PCR و Sourthen Blotting (S. B.) تایید شده، در محیط حاوی گلیسرول BMGY، تا حصول کدورت $OD_{600}=6$ کشت و سپس جهت بیان ژن هترولوج فوق به محیط حاوی مтанول، BMMY، انتقال داده شدند. بالغ‌زدن متابولیت‌ها به صورت روزانه، حالت القاء در آنان حفظ گردید. با تخلیص RNA و انجام Northen Blotting (N.B) صحت نسخه برداری و همچنین بیان ژن فوق (تولید پروتئین نوترکیب) با ۷٪ SDS-PAGE، وسترن بلاستینگ، و IFA مورد ارزیابی قرار گرفت. میکروسکوپ الکترونی و ایمونوالکترون میکروسکوپی برای تعیین محل داخل سلولی گلیکوپروتئین هترولوج در مخمر بیان کننده ژن فوق مورد استفاده قرار گرفتند. فعالیت متابولیپوتیناز نوترکیب (rgp63) و همچنین تأثیر بازدارنده‌های آنزیمی با SDS-PAGE gelatin gel مطالعه گردید، توانایی مخمر در گلیکوزیلاسیون متابولیپوتیناز نوترکیب (rgp63) نیز سنجش گردید.

یافته‌ها: PCR و (S. B.) وارد شدن ژن gp63 را به گونه‌ای صحیح در کروموزوم مخمر نوترکیب تائید کردند.

(N. B.) بر روی RNA تخلیص شده از مخمر نوترکیب صحت نسخه برداری از ژن gp63 ۷٪

SDS-PAGE و وسترن بلاستینگ نیز، بیان ژن فوق (تولید پروتئین نوترکیب) را در مخمر ترانسفورمنت تائید

نمودند. مطالعه با SDS-PAGE gelatin gel، فعال بودن مولکول فوق را اثبات نمود. یدواستامید و EDTA با غلظت ۵ میلی مولار از فعالیت این مولکول در ژل مزبور مانع نمودند. بررسی‌ها با میکروسکوپ الکترونی وجود ناحیه پروتئینی متراکم را در فضای پرپلasmی مخمر ترانسفورم شده با پلاسمید حاوی ژن نشان داد. بررسی‌ها ایمونوالکترون میکروسکوپی و IFA نیز تأیید نمودند که ناحیه پروتئینی فوق، همان پروتئین نوترکیب (gp63) می‌باشد. آزمون PNGase-F نیز گلیکوزیله بودن باندهای بیش از ۵۳ کیلو Daltonی آن را اثبات نمود.

نتیجه گیری: گلیکوپروتئین ۶۳ کیلو Daltonی تولید شده در مخمر به فرم طبیعی خود بیشتر شباهت دارد، زیرا علاوه بر گلیکوزیله بودن در SDS-PAGE gelatin gel نیز فعال می‌باشد.

واژه‌های کلیدی: بیان ژن، لیشمانیا، مخمر، الکترون میکروسکوپی، gp63

مقدمه

لیشمانیا، یک انگل داخل سلولی می‌باشد که به صور مختلف بیش از ۱۲ میلیون نفر را در بیش از ۸۶ کشور جهان مبتلا نموده است و ۳۵ میلیون نفر نیز در معرض ابتلاء به آن هستند [۳]. واکسن‌های زیر واحدی آن با استفاده از مولکول gp63 انگل فوق حداقل در موارد ذیل توانسته است به نوعی از ایمنی و حفاظت در برابر بیماری انگلی فوق منجر شود:

الف - مولکول gp63 انگل فوق، توانایی القاء تک‌آنتی سرم اختصاصی (Monospecific) را دارد. آنتی سرم فوق به عنوان یک آنتی ادھسین (Anti-adhesine) عمل کرده و در تقلیل اتصال انگل به ماکروفاژهای میزبان نقش دارد [۲۱].

ب - تزریق زیرجلدی لیپوزوم‌های حاوی آنتی ژن gp63 طبیعی (تخلیص شده از پروماستیگوت‌های مرحله لگاریتمی رشد) لیشمانیا مکزیکانا توانسته است موش‌های Inbred از نوع CBA/ca را حفاظت نماید. حفاظت حاصله از طریق انتقال سلول‌های T، قابل انتقال به موش‌های سالم نیز بوده است [۱۳].

ج - حفاظت موش‌های BALB/C بعد از واکسیناسیون آنها با باسیل واکسن BCG که گلیکوپروتئین Gp63 لیشمانیا مازور را نیز بیان می‌کرده است در مقابل ابتلاء به انگل فوق [۹].

د - بیان ژن gp63 لیشمانیا مازور در سویه واکسن

خوارکی سالمونولا تیفی موریوم، نیز توانسته تکثیر سلول‌های T کمکی را به سمت سلول‌های زیر واحد ۱ (Th-1) و در نتیجه به سمت ایمنی و حفاظت هدایت نماید [۲۴، ۲۳، ۱۶].

ه - بی ضرری (Safety) واکسن زیر واحدی gp63 و همچنین توانایی آن در ایجاد مصنوبیت نسبی در مدل حیوانی میمونهای Vervet تأیید گردیده است. مولکول gp63 حداقل برای تشخیص سرولوژیک لیشمانیوز

جلدی و احشایی نیز مفید گزارش شده است [۱۱]. بنابراین مولکول gp63 حداقل به عنوان یکی از کاندیداهای تهیه واکسن Subunit لیشمانیا مطرح است. از این رو، در راستای طرح مطالعات مولکولی لیشمانیا و همچنین جهت تولید مولکول فوق به مقدار زیاد و مشابه‌تر به فرم طبیعی آن، تصمیم گرفته شد تا گلیکوپروتئین gp63 را در سلولی یوکاریوت (مشابه‌تر به انگل) بیان نماییم.

از آنجایی که زمینه ژنتیکی میزبان می‌تواند مواردی از جمله صحت (Authenticity) پروتئین نوترکیب را تحت تأثیر قرار دهد، به گونه‌ای که گاهًا موارد فوق، اهمیت بیشتری از میزان بالای تولید می‌یابد [۱۷]. با توجه به انجام تغییرات پس از ترجمه‌ای در مخمر به عنوان یک میزبان اوکاریوتی و شباهت این نوع تغییرات در مخمر، به تغییرات پس از ترجمه‌ای انجام شده توسط سلول‌های اوکاریوت عالی تر در بسیاری از موارد، مخمر

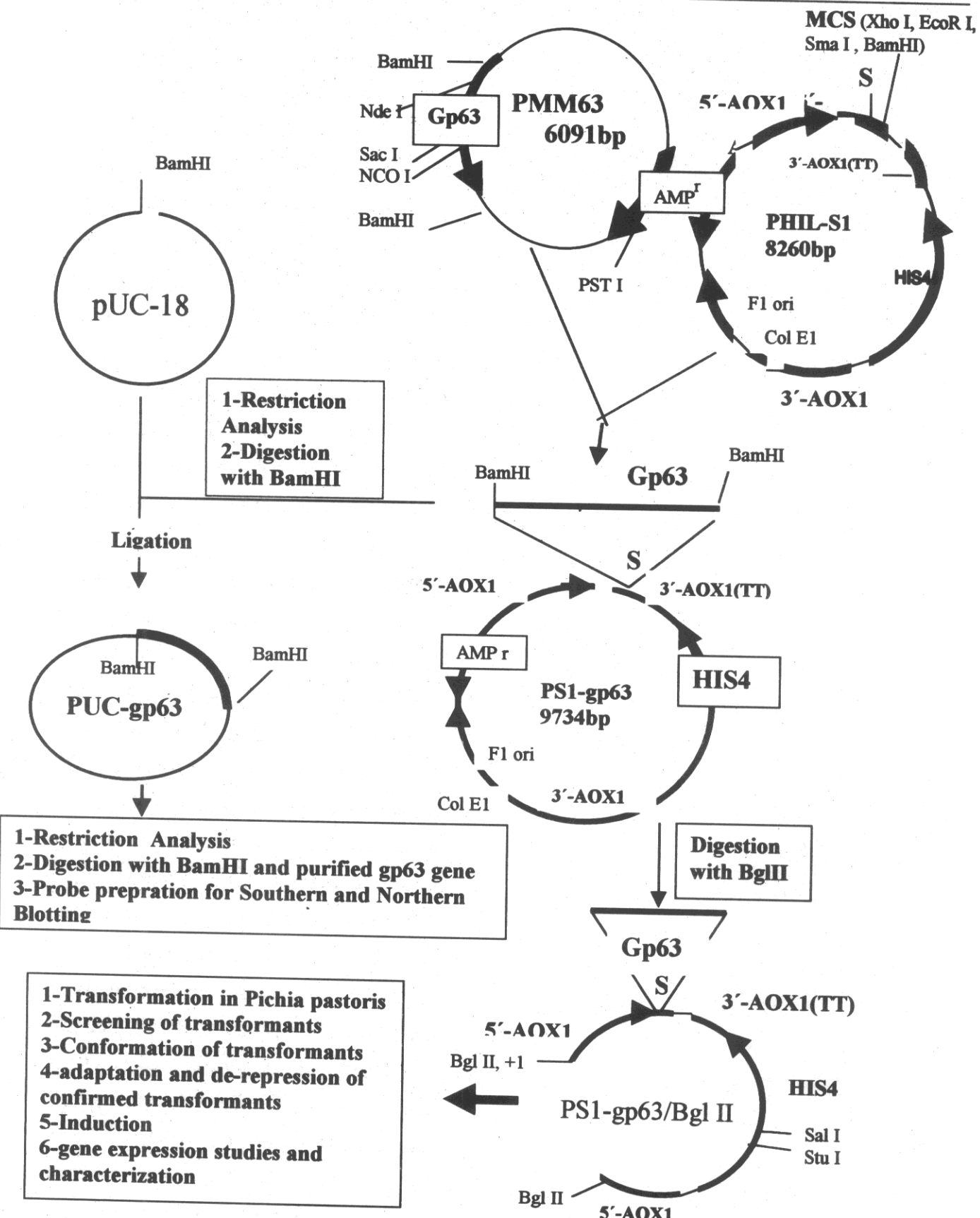
هدف مورد توجه قرار گرفت.

میزبانی مناسب برای بیان ژن‌ها و تولید پروتئین‌های اوکاریوتی می‌باشد.

مواد و روش کار

شکل ۱، ترسیم شماتیکی از مراحل کلونینگ ژن gp63 در مخمر *Pichia pastoris* است. پس از تأثید ژن تغییریافته gp63، به گونه‌ای که فقط قسمت بالغ پروتئین Restriction map باستفاده از آن، ژن فوق با آنزیم برش دهنده BamHI بیرون آورده شد و پس از الکتروفوروز و استخراج از ژل آگاروز، در ناقل دو میزبانه pHII-S1 و همچنین pUC18، کلون شد. پلاسمید نوترکیب حاصل pS1-gp63 نام گذاری شد. پس از خطی و دوقطعه نمودن پلاسمید فوق توسط آنزیم برش دهنده BglIII، قطعهٔ حاوی ژن از ژل آگاروز با روش فتل-کلروفرم و نیز استفاده از کیت Gene Clean استخراج گردید. سلول‌های پذیرا (صلاحیت‌دار) از سویه‌های KM71 و GS115 مخمر *Pichia pastoris* تهیه شد و برای ترانسفورماسیون قطعه DNA حاوی ژن به روش‌های شیمیابی نظیر لیتیم کلراید مورد استفاده قرار گرفت. پس از ۲-۳ روز در دمای ۳۰ درجه، ترانسفورمنتها پروری محیط فاقد هیستیدین انتخاب شدند. DNA کروموزومی آنها استخراج شد. پس از استخراج پلاسمید pUC19+gp63 به مقدار لازم و هضم آن توسط آنزیم BamHI، ژن gp63 کلون شده در آن از ژل LMP جدا شد و سپس مقدار ۱ میکروگرم از آن همراه با یک میکروگرم از DNA غیرنشان دار همراه کیت DIG-DNA labeling، به روش Random Priming، با دیگوگیرین (DIG) نشان دار گردید. کمیت و کیفیت پروب تهیه شده با روش لکه گذاری نقطه‌ای (Blot Dot Southern) روی غشاء نایلونی در مقایسه با کنترل‌های کیت تعیین شد. این پروب برای غربالگری و همچنین تأثید تداخل ژن gp63 در DNA مخمرها (Southern blotting) مورد استفاده قرار گرفت. PCR با پرایمرهای 3-& 5-AOX-1 و پرایمرهای طراحی شده برای داخل ژن (PCR3 و PCR4) نیز بدین منظور مورد استفاده قرار گرفت.

از طرف دیگر علی‌رغم استفاده وسیع و طویل‌المدت از مخمر ساکارومیس سرویزیه برای مقاصد مختلف در بیوتکنولوژی، از مخمر نانوایی گرفته و تا این اواخر به عنوان یک میزبان اوکاریوتی برای تولید پروتئین‌های نوترکیب، وجود مشکلات و محدودیت‌هایی در این راستا مانند هیپرگلیکوزیلاسیون پروتئین‌های نوترکیب، محققان را به طور جدی بر آن داشته است که در صدد جایگزین نمودن مخمر فوق با جنس‌ها و یا گونه‌های دیگری از این میزبان اوکاریوتی باشند. در این راستا، چندین گونه مخمر متیلوتروف از جمله *Pichia Kluyveromyces Hansenula polymorpha pastoris* Yarrowia و *Schizosaccharomyces pombe dactis* lipolytica کاندیدا می‌باشند که در بین آنها Alpha(1-3) همچنین توانایی هیپرگلیکوزیلیشن عمل نماید [۱۳] همچنین توانایی تولید پروتئین نوترکیب با مقادیر بسیار بالا حتی تا مقدار ۱۲ گرم در لیتر [۷] ارجح می‌باشد. لذا از سال ۱۹۸۷ به عنوان یک میزبان اوکاریوتی برای تولید پروتئین‌های نوترکیب مورد استفاده قرار گرفته است. در این پژوهه هم به منظور تولید گلیکوپروتئین عمدهٔ لیشمانيا (gp63) در شرایطی نزدیک‌تر به شرایط طبیعی (تولید آن)، برآن شدیم که از میزبانی یوکاریوتیک که توانایی انجام تغییرات پس از ترجمه‌ای (translational modifications) همانند سایر سلول‌های اوکاریوتی را دارد، استفاده نماییم تا بتوان اهمیت و نقش احتمالی تغییرات فوق را در تولید کامل این آتنی ژن گلیکوپروتئینی، که حداقل به عنوان یک جزء اصلی در طراحی واکسن‌های نسل دوم لیشمانيا و همچنین در طراحی کیت‌های تشخیصی این بیماری مطرح است، مورد مطالعه قرار داد. لذا، کلونینگ و بیان این ژن در مخمر متیلوتروف *Pichia pastoris* و ارزیابی خصوصیات مولکولی نوترکیب حاصل برای تحقیق این

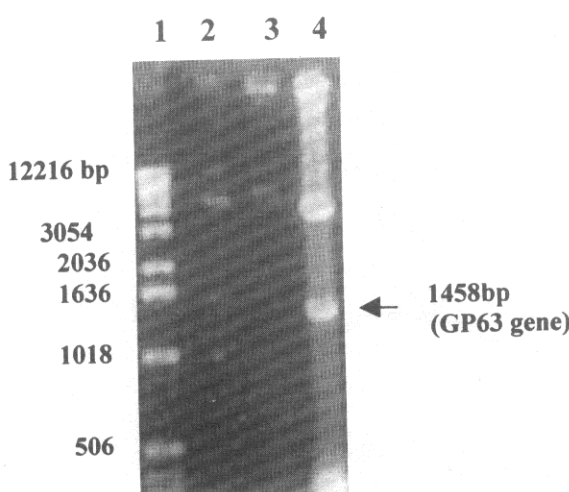


شکل ۱. نمایش شماتیک مراحل کلونینگ ژن gp63 در مخمر *Pichia pastoris*

آن با استفاده از SDS-PAGE gelatin gel مورد سنجش قرار گرفت. در پایان، آزمون دگلیکوزیلاسیون PNGase-F نیز بر روی مولکول فوق انجام شد.

نتایج

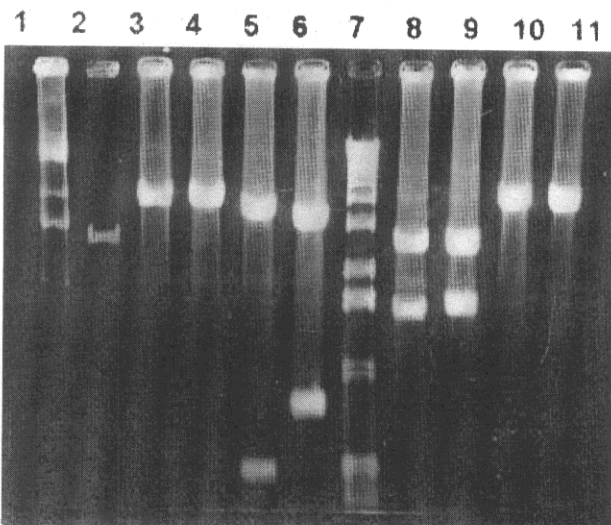
پس از تأیید ژن تغییر یافته gp63 با ۱۴۵۸bp و بیرون کشیده شدن آن از پلاسمید pPMM63:TEX3 توسط آنزیم BamHI (شکل ۲، ردیف ۴)، به طور هم‌زمان در ناقل دو میزبانه pHIL-S1 تایید شد (شکل ۳) و پلاسمید PUC18 کلون گردید. نتایج حاصل از هضم‌های آنزیمی pUC19-gp63 (پلاسمید نوترکیب Restriction map) در شکل ۴ آمده است. با توجه به وجود یک سکانس شناسایی و برش در سکانس نوکلئوتیدی این پلاسمید SmaI، HindIII، SalI، EcoRI و BamHI، هضم پلاسمید مزبور توسط آنزیم‌های فوق منجر به خطا شدن آن می‌گردد. در سایر موارد نیز اندازه قطعات حاصل در مقایسه با مارکر مولکولی 1kb DNA ladder مطابق با موارد مورد انتظار بود.



شکل ۲. هضم آنزیمی پلاسمیدهای مختلف pPMM63:TEX3 با آنزیم BamHI. قطعات DNA با اندازه ۱۴۵۸bp ژن gp63، از پلاسمیدهای شماره ۹۰ و ۴۲ رها شده است (ردیف‌های ۲ و ۴). ژن gp63 رها شده از پلاسمید شماره ۴۲ (ردیف ۲) برای کلونینگ مورد استفاده قرار گرفت. در ردیف ۱، 1kb DNA Ladder 1 لوه شده است.

ترانسفورمانت‌های تأیید شده جهت عادت دادن و سپس القاء، در ابتداء در محیط بافری حاوی حداقل گلیسرول، BMGY، تلقیح شدند. محیط‌های تلقیح شده در انکوباتور ۳۰ درجه همراه با تکان شدید، قرار داده شدند تا این که کدورت آنها به حدود $OD_{600}=6$ برسد. پس از آن سلول‌هارا در شرایط و ظروف استریل سانتریفوژ نموده و سپس آن را به محیط بافری حاوی حداقل متانول BMGY، انتقال داده و مجدداً در همان شرایط انکوبه شد. BMGY همان محیط BMGY می‌باشد، با این تفاوت که به جای ۱٪ گلیسرول، واحد ۰٪ درصد متانول می‌باشد. حدود یک هفته در آن شرایط می‌ماند. البته متانول نیز به صورت روزانه و بر حسب حجم نهایی محیط القاء در شرایط استریل به آن اضافه می‌گردد. سرانجام سلول‌ها و محیط کشت با سانتریفوژ از هم‌دیگر جدا گردیدند و به رسوب سلولی حاصل Breaking buffer حاوی ممانعت کننده پروتئاز افزوده شد و پس از شکستن سلول‌ها با سونیکاتور با روش SDS-PAGE، کلون‌های بیان کننده ژن فوق در مقایسه با کنترل منفی (مخمر ترانسفورم شده با پلاسمید pHIL-S1 به تنها) و همچنین با کنترل مثبت (پروتئین rgp63 تخلیص شده از E.coli) غربال می‌گردیدند. پس از یافتن کلون‌های مثبت با SDS-PAGE، به منظور رد و یا تأیید یافته‌های فوق آزمون S. B. روی آنان انجام گردید. همچنین، برش‌های میکروسکوپی تهیه شده از مخمرهای نوترکیب تأیید شده با آزمون S. B. (قبل و بعد از القاء)، با استفاده از آنتی‌بادی‌های اختصاصی بر علیه gp63، به عنوان آنتی‌بادی اولیه و استفاده از آنتی موس کونزوگه با ماده فلورسانس فلورورسین ایزو‌تیوپیسیات، FITC، مورد آزمون IFA نیز قرار گرفتند. برای تعیین محل تولید پروتئین فوق از میکروسکوپ الکترونی و روش ایمنوالکترون میکروسکوپی (IEM) که تلفیقی از روش‌های سرولوژی و روش‌های الکترون میکروسکوپی می‌باشد، بهره گرفته شد. فعالیت آنزیمی rgp63، اثر بازدارنده‌های آنزیمی یدواستامید و EDTA بر فعالیت

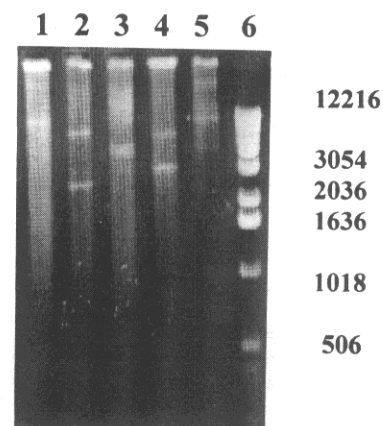
gp63 در درجهٔ صحیح قرار گرفته باشد، قطعات همان صورت تأیید گردید. پلاسمیدهای نوترکیبی که پس از هضم با آنزیم BamHI، قطعه DNA با اندازه ۱۴۵۸bp را، رها می‌ساختند، مجدداً توسط آنزیم‌های مورد استفاده در تجزیه و تحلیل آنزیمی پلاسمید دو میزبانه pHIL-SI به تهایی هضم گردیدند (شکل ۳).



شکل ۴. تأیید پلاسمید نوترکیب (ردهٔ ۶۳gpUC19) توسط هضم‌های آنزیمی، به منظور استفاده از آن در تهیه پروب نشان‌دار. تأیید پلاسمید نوترکیب از طریق هضم آنزیمی آن توسط آنزیم‌های BamHI (ردهٔ ۳)، BamHI & EcoRI (ردهٔ ۴)، PstI (ردهٔ ۵)، SmaI (ردهٔ ۶)، EcoRI & HindIII (ردهٔ ۷)، HindIII (ردهٔ ۸)، EcoRI & HindIII (ردهٔ ۹)، HindIII (ردهٔ ۱۰) و Sall (ردهٔ ۱۱). ضمناً در ردهٔ ۷، ۸ و در ردهٔ ۱ پلاسمید Uncut pUC19 و در ردهٔ ۲ pUC19/linear بازگیری شده است.

در نهایت پلاسمید نوترکیبی برای ترانسفورمیشن در مخمر انتخاب گردید که علاوه بر تأیید وجود ژن gp63 در آن، قرار گرفتن ژن مزبور در درجهٔ صحیح نیز در آن تأیید شد. پلاسمیدهای نوترکیب فوق توسط آنزیم برش دهنده BglIII هضم گردید. با توجه به وجود سکانس مورد شناسایی برای آنزیم فوق در موقعیت‌های نوکلئوتیدی ۲ و ۵۳۹۴ پلاسمید فوق، دو قطعه DNA با اندازه‌های ۶۸۴۷ و ۲۸۶۸ جفت باز (حاوی ژن gp63) و جفت باز ایجاد شد. پس از تأیید هضم آنزیمی فوق، و الکتروفورز آن در ژل آگاروز، و انجام ترانسفورماسیون با قطعه ۶۸۴۷ جفت بازی، ترانسفورمانت‌های HIS⁺ روی

کلوینینگ ژن gp63 در ناقل دومیزبانه pHIL-SI نیز به همان صورت تأیید گردید. پلاسمیدهای نوترکیبی که پس از هضم با آنزیم BamHI، قطعه DNA با اندازه ۱۴۵۸bp را، رها می‌ساختند، مجدداً توسط آنزیم‌های مورد استفاده در تجزیه و تحلیل آنزیمی پلاسمید دو میزبانه pHIL-SI به تهایی هضم گردیدند (شکل ۳).

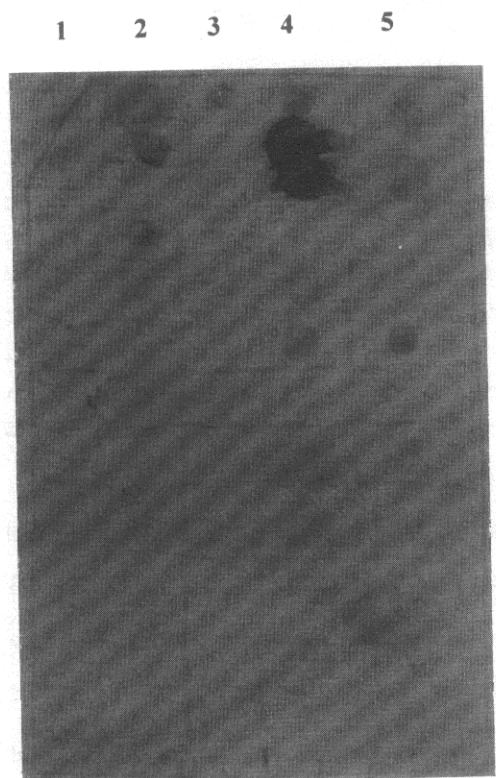


شکل ۳. تأیید پلاسمید دو میزبانه pHIL-S1 از طریق هضم آنزیمی آن توسط آنزیم‌های BamHI (ردهٔ ۱ از چپ به راست)، BglIII (ردهٔ ۲)، 1Kb DNA (ردهٔ ۳)، PvuII (ردهٔ ۴). ضمناً در ردهٔ ۶ EcoRV و در ردهٔ ۵ پلاسمید Uncut بازگیری شده است. موارد مشاهده شده در مقایسه با شاخص وزن مولکولی 1Kb DNA ladder حاصله در موارد ذکر شده کاملاً با موارد مورد انتظار مطابقت کامل دارد.

آنژیم‌های مورد استفاده برای این موضوع به گونه‌ای انتخاب گردیدند که دارای محل برش در سکانس ژن gp63 و همچنین در سکانس پلاسمید فوق باشند. پس از مقایسه اندازه قطعات حاصل از هضم آنزیمی با مارکر مولکولی 1kb DNA Ladder مناسب‌ترین پلاسمید انتخاب گردید. برای حصول اطمینان از قرار گرفتن ژن gp63 در پلاسمید دو میزبانه pHIL-SI در درجهٔ صحیح (پلاسمید نوترکیب pHIL-SI + gp63)، پلاسمیدهای مزبور مجدداً با آنزیم‌های NdeI و NcoI هضم گردیدند.

با توجه به وجود سکانس مورد شناسایی و برش آنزیم NdeI در موقعیت نوکلئوتیدی شماره ۵۶۲۹ در سکانس پلاسمید دومیزبانه pHIL-S1 و همچنین در موقعیت نوکلئوتیدی شماره ۶ سکانس تغییر یافته ژن gp63 انتظار بود که از هضم پلاسمید نوترکیب فوق pHIL-SI-gp63 (pHIL-SI-gp63) با آنزیم مزبور، در صورتی که ژن

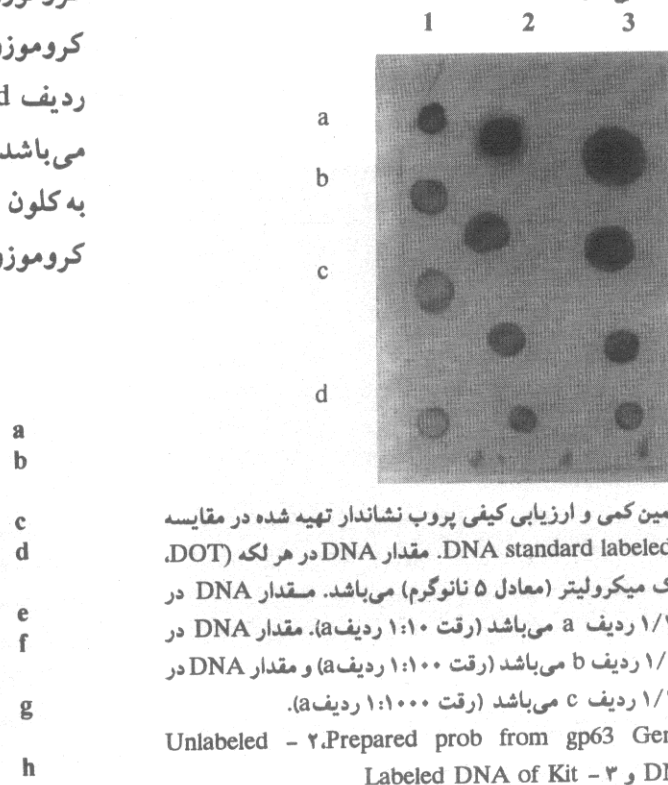
pHIL-SI-gp63 و Puc19-gp63 می‌باشند که با شدت بیشتری ظاهر گردیده‌اند. پلاسمیدهای فوق بدون ژن gp63 نیز به عنوان کنترل منفی در ستون ۵ به ترتیب در ردیف‌های g و h گرفته‌اند. در ستون ۲ ردیف b، DNA کروموزومی متعلق به کلون شماره ۲۶، ردیف c، DNA کروموزومی متعلق به کلون شماره ۲۸ (کنترل منفی)، و ردیف d، DNA کروموزومی متعلق به کلون شماره ۱۱۰ می‌باشد. در ستون ۴ ردیف a، DNA کروموزومی متعلق به کلون شماره ۲۵ می‌باشد. در ستون ۵، ردیف f، DNA کروموزومی متعلق به کلون GS-I می‌باشد.



شکل ۵. تحقیق کمی و ارزیابی کیفی پروب نشاندار تهیه شده در مقایسه با اولیه کلونهای حاوی ژن gp63. مقدار DNA در هر لکه (DOT) معادل ۲۰ نانوگرم می‌باشد. نتیجه واکنشگری DNA کروموزومی استخراج شده از ترانسفورمنتهای مختلف، در مقایسه بالکهای (Dots) (ستون ۴ ردیف‌های b و c به عنوان کنترل مثبت و ستون ۵ ردیف‌های g و h به عنوان کنترل منفی ملاحظه می‌گردد.

پس از شناسایی کلونهای حاوی ژن در این مرحله، DNA کروموزومی آنها استخراج شد و با آنزیم BamHI هضم گردید (شکل ۷-الف). پس از الکتروفورز، به نایلون ممبران انتقال یافته و با استفاده از پروب نشاندار

محیط فاقد هیستیدین انتخاب شدند. DNA کروموزومی آنها استخراج گردید و پس از کنترل غلظت آنها، با استفاده از پروب نشاندار تهیه شده (شکل ۵)، مورد آزمون غربال‌گری Dot Southern blotting قرار گرفتند (شکل ۶).



شکل ۶. تحقیق کمی و ارزیابی کیفی پروب نشاندار تهیه شده در مقایسه با لکه (DOT) مقدار DNA standard labeled controlly یک میکرولیتر (معادل ۵ نانوگرم) می‌باشد. مقدار DNA در ردیف a ۱/۱۰ ردیف a می‌باشد (رقت ۱:۱۰ ردیف a). مقدار DNA در ردیف b ۱/۱۰۰ ردیف b می‌باشد (رقت ۱:۱۰۰ ردیف a) و مقدار DNA در ردیف c ۱/۱۰۰۰ ردیف c می‌باشد (رقت ۱:۱۰۰۰ ردیف a). Prepared prob from gp63 Gene - 1 Labeled DNA of Kit - ۲ و DNA of Kit

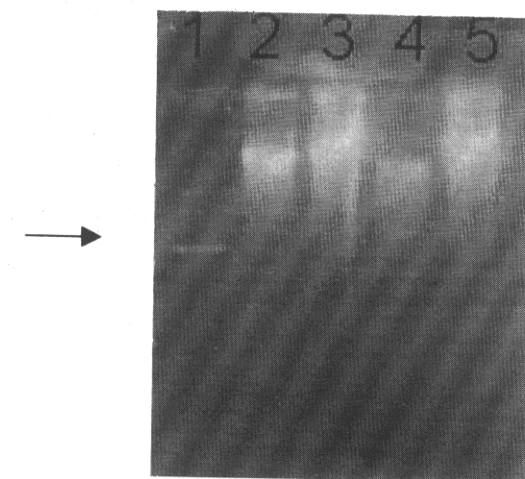
در ستون ۱ شکل ۶، رقت‌های مختلف پروب (کاوشگر) نشاندار تهیه شده از ژن gp63 می‌باشد که الگوی آن از پلاسمید Puc19-gp63 (شکل ۴) جدا شده بود. شدت و ضعف و یا به عبارتی درجه واکنش‌گری هر یک از لکه‌ها (DOT) در مقایسه با کنترل‌های کیت (شکل ۵، ستون‌های ۲ و ۳) مشاهده می‌شود. همانگونه که ملاحظه می‌گردد، کاوش‌گر تهیه شده حتی تا رقت ۱:۱۰۰۰ از کیفیت مطلوبی برای واکنش هیبریدیزاسیون برخوردار بود.

شکل ۶ دو روش گیری را با روش لکه گذاری نقطه‌ای با DNA-پروب تهیه شده از روى ژن gp63 (با روش Random priming) نشان می‌دهد. ستون‌های ۲ و ۴ ردیف‌های d و b به ترتیب DNA جایگزین شده را نشان می‌دهند. مقدار DNA در هر لکه (Dot) معادل ۲۰ نانوگرم می‌باشد. Dot های ستون ۴ ردیف‌های b و

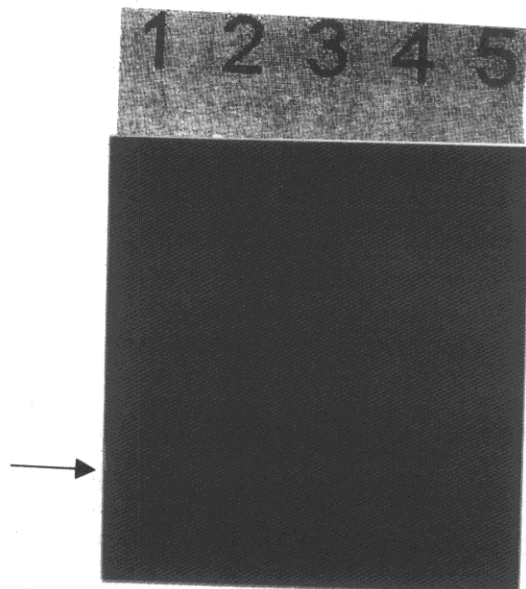
باندی با اندازه مشابه باند مشاهده شده در مورد کنترل DNA مشبت (ژن gp63) در ردیف ۵ در مورد DNA کروموزومی متعلق به کلون شماره ۲۶ (ردیف ۵) و عدم مشاهده باند فوق در مورد کنترل منفی (ردیف ۲) دال بر ورود ژن gp63 در DNA کروموزومی مخمر می‌باشد.

شکل ۷-ب، سی‌دی‌آر نشان می‌دهد. ستون ۱، DNA (ژن gp63) pHIL-S1-gp63 DNA-probe حاصل از برش پلاسمید نوترکیب BamHI (ستون ۵)، و متعلق به کلون شماره ۲۶ با آنزیم BamHI (ستون ۵)، و ستون‌های دیگر DNA کروموزومی هضم شده متعلق به کلون شماره ۲۸ (ستون ۲) و سایرین را نشان می‌دهد. هیبریدیزاسیون فقط با DNA موجود در ستون‌های ۱ و ۵ متعلق به ژن gp63 و DNA کروموزومی کلون ۲۶ مخمر انجام شد. مضافاً به این که، DNA probe مذکور در همان منطقه (اندازه مولکولی) که با کنترل مشبت (ژن gp63) هیبرید شده است با DNA کروموزومی مخمر متعلق به کلونی شماره ۲۶ نیز هیبرید شده است. اما با DNA ستون‌های دیگر که مربوط به کلون‌های دیگر است پروب مذکور هیبرید نشده است. این پدیده میان تداخل (Integration) ژن در DNA کروموزومی کلون شماره ۲۶ می‌باشد. ناگفته نماند که DNA های کروموزومی موردن استفاده برای این منظور با استفاده از خرد شیشه استخراج شده‌اند و بنابراین مشاهده باندهای بیشتر حاوی ژن gp63 هم، دور از انتظار نخواهد بود. DNA با پرایمرهای 1-AOX-5-3 و ۳-5-AOX با PCR ستون‌های دیگر که مربوط به کلون‌های دیگر است پروب مذکور هیبرید نشده است. این پدیده میان تداخل (integration) ژن در DNA کروموزومی کلون شماره ۲۶ می‌باشد. ناگفته نماند که DNA های کروموزومی موردن استفاده برای این منظور با استفاده از خرد شیشه استخراج شده‌اند و بنابراین مشاهده باندهای بیشتر حاوی ژن gp63 هم، دور از انتظار نخواهد بود. DNA با پرایمرهای 1-AOX-5-3 و ۳-5-AOX با PCR طراحی شده برای داخل ژن (PCR3 و PCR4) نیز تداخل ژن gp63 را در DNA کروموزومی مخمر (کلون

الف.



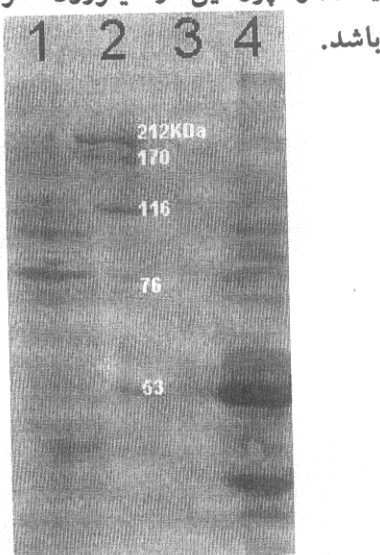
ب



شکل ۷. نتایج حاصل از هضم آنزیمی DNA کروموزومی مخمرهای نوترکیب با آنزیم BamHI (قسمت الف) و سپس انجام سادرن بلاطینگ با آنها (قسمت ب). هدف از انجام این آزمایش، تائید تداخل ژن gp63 در DNA کروموزومی مخمر بود.

- ۱. ۲. ۳. ۴. ۵. ۶. ۷. ۸. ۹. ۱۰. ۱۱. ۱۲. ۱۳. ۱۴. ۱۵. ۱۶. ۱۷. ۱۸. ۱۹. ۲۰. ۲۱. ۲۲. ۲۳. ۲۴. ۲۵. ۲۶. ۲۷. ۲۸. ۲۹. ۳۰. ۳۱. ۳۲. ۳۳. ۳۴. ۳۵. ۳۶. ۳۷. ۳۸. ۳۹. ۴۰. ۴۱. ۴۲. ۴۳. ۴۴. ۴۵. ۴۶. ۴۷. ۴۸. ۴۹. ۵۰. ۵۱. ۵۲. ۵۳. ۵۴. ۵۵. ۵۶. ۵۷. ۵۸. ۵۹. ۶۰. ۶۱. ۶۲. ۶۳. ۶۴. ۶۵. ۶۶. ۶۷. ۶۸. ۶۹. ۷۰. ۷۱. ۷۲. ۷۳. ۷۴. ۷۵. ۷۶. ۷۷. ۷۸. ۷۹. ۸۰. ۸۱. ۸۲. ۸۳. ۸۴. ۸۵. ۸۶. ۸۷. ۸۸. ۸۹. ۹۰. ۹۱. ۹۲. ۹۳. ۹۴. ۹۵. ۹۶. ۹۷. ۹۸. ۹۹. ۱۰۰. ۱۰۱. ۱۰۲. ۱۰۳. ۱۰۴. ۱۰۵. ۱۰۶. ۱۰۷. ۱۰۸. ۱۰۹. ۱۱۰. ۱۱۱. ۱۱۲. ۱۱۳. ۱۱۴. ۱۱۵. ۱۱۶. ۱۱۷. ۱۱۸. ۱۱۹. ۱۲۰. ۱۲۱. ۱۲۲. ۱۲۳. ۱۲۴. ۱۲۵. ۱۲۶. ۱۲۷. ۱۲۸. ۱۲۹. ۱۳۰. ۱۳۱. ۱۳۲. ۱۳۳. ۱۳۴. ۱۳۵. ۱۳۶. ۱۳۷. ۱۳۸. ۱۳۹. ۱۴۰. ۱۴۱. ۱۴۲. ۱۴۳. ۱۴۴. ۱۴۵. ۱۴۶. ۱۴۷. ۱۴۸. ۱۴۹. ۱۵۰. ۱۵۱. ۱۵۲. ۱۵۳. ۱۵۴. ۱۵۵. ۱۵۶. ۱۵۷. ۱۵۸. ۱۵۹. ۱۶۰. ۱۶۱. ۱۶۲. ۱۶۳. ۱۶۴. ۱۶۵. ۱۶۶. ۱۶۷. ۱۶۸. ۱۶۹. ۱۷۰. ۱۷۱. ۱۷۲. ۱۷۳. ۱۷۴. ۱۷۵. ۱۷۶. ۱۷۷. ۱۷۸. ۱۷۹. ۱۸۰. ۱۸۱. ۱۸۲. ۱۸۳. ۱۸۴. ۱۸۵. ۱۸۶. ۱۸۷. ۱۸۸. ۱۸۹. ۱۹۰. ۱۹۱. ۱۹۲. ۱۹۳. ۱۹۴. ۱۹۵. ۱۹۶. ۱۹۷. ۱۹۸. ۱۹۹. ۲۰۰. ۲۰۱. ۲۰۲. ۲۰۳. ۲۰۴. ۲۰۵. ۲۰۶. ۲۰۷. ۲۰۸. ۲۰۹. ۲۱۰. ۲۱۱. ۲۱۲. ۲۱۳. ۲۱۴. ۲۱۵. ۲۱۶. ۲۱۷. ۲۱۸. ۲۱۹. ۲۲۰. ۲۲۱. ۲۲۲. ۲۲۳. ۲۲۴. ۲۲۵. ۲۲۶. ۲۲۷. ۲۲۸. ۲۲۹. ۲۳۰. ۲۳۱. ۲۳۲. ۲۳۳. ۲۳۴. ۲۳۵. ۲۳۶. ۲۳۷. ۲۳۸. ۲۳۹. ۲۴۰. ۲۴۱. ۲۴۲. ۲۴۳. ۲۴۴. ۲۴۵. ۲۴۶. ۲۴۷. ۲۴۸. ۲۴۹. ۲۴۱۰. ۲۴۱۱. ۲۴۱۲. ۲۴۱۳. ۲۴۱۴. ۲۴۱۵. ۲۴۱۶. ۲۴۱۷. ۲۴۱۸. ۲۴۱۹. ۲۴۲۰. ۲۴۲۱. ۲۴۲۲. ۲۴۲۳. ۲۴۲۴. ۲۴۲۵. ۲۴۲۶. ۲۴۲۷. ۲۴۲۸. ۲۴۲۹. ۲۴۲۱۰. ۲۴۲۱۱. ۲۴۲۱۲. ۲۴۲۱۳. ۲۴۲۱۴. ۲۴۲۱۵. ۲۴۲۱۶. ۲۴۲۱۷. ۲۴۲۱۸. ۲۴۲۱۹. ۲۴۲۲۰. ۲۴۲۲۱. ۲۴۲۲۲. ۲۴۲۲۳. ۲۴۲۲۴. ۲۴۲۲۵. ۲۴۲۲۶. ۲۴۲۲۷. ۲۴۲۲۸. ۲۴۲۲۹. ۲۴۲۲۱۰. ۲۴۲۲۱۱. ۲۴۲۲۱۲. ۲۴۲۲۱۳. ۲۴۲۲۱۴. ۲۴۲۲۱۵. ۲۴۲۲۱۶. ۲۴۲۲۱۷. ۲۴۲۲۱۸. ۲۴۲۲۱۹. ۲۴۲۲۲۰. ۲۴۲۲۲۱. ۲۴۲۲۲۲. ۲۴۲۲۲۳. ۲۴۲۲۲۴. ۲۴۲۲۲۵. ۲۴۲۲۲۶. ۲۴۲۲۲۷. ۲۴۲۲۲۸. ۲۴۲۲۲۹. ۲۴۲۲۲۱۰. ۲۴۲۲۲۱۱. ۲۴۲۲۲۱۲. ۲۴۲۲۲۱۳. ۲۴۲۲۲۱۴. ۲۴۲۲۲۱۵. ۲۴۲۲۲۱۶. ۲۴۲۲۲۱۷. ۲۴۲۲۲۱۸. ۲۴۲۲۲۱۹. ۲۴۲۲۲۲۰. ۲۴۲۲۲۲۱. ۲۴۲۲۲۲۲. ۲۴۲۲۲۲۳. ۲۴۲۲۲۲۴. ۲۴۲۲۲۲۵. ۲۴۲۲۲۲۶. ۲۴۲۲۲۲۷. ۲۴۲۲۲۲۸. ۲۴۲۲۲۲۹. ۲۴۲۲۲۲۱۰. ۲۴۲۲۲۲۱۱. ۲۴۲۲۲۲۱۲. ۲۴۲۲۲۲۱۳. ۲۴۲۲۲۲۱۴. ۲۴۲۲۲۲۱۵. ۲۴۲۲۲۲۱۶. ۲۴۲۲۲۲۱۷. ۲۴۲۲۲۲۱۸. ۲۴۲۲۲۲۱۹. ۲۴۲۲۲۲۲۰. ۲۴۲۲۲۲۲۱. ۲۴۲۲۲۲۲۲. ۲۴۲۲۲۲۲۳. ۲۴۲۲۲۲۲۴. ۲۴۲۲۲۲۲۵. ۲۴۲۲۲۲۲۶. ۲۴۲۲۲۲۲۷. ۲۴۲۲۲۲۲۸. ۲۴۲۲۲۲۲۹. ۲۴۲۲۲۲۲۱۰. ۲۴۲۲۲۲۲۱۱. ۲۴۲۲۲۲۲۱۲. ۲۴۲۲۲۲۲۱۳. ۲۴۲۲۲۲۲۱۴. ۲۴۲۲۲۲۲۱۵. ۲۴۲۲۲۲۲۱۶. ۲۴۲۲۲۲۲۱۷. ۲۴۲۲۲۲۲۱۸. ۲۴۲۲۲۲۲۱۹. ۲۴۲۲۲۲۲۲۰. ۲۴۲۲۲۲۲۲۱. ۲۴۲۲۲۲۲۲۲. ۲۴۲۲۲۲۲۲۳. ۲۴۲۲۲۲۲۲۴. ۲۴۲۲۲۲۲۲۵. ۲۴۲۲۲۲۲۲۶. ۲۴۲۲۲۲۲۲۷. ۲۴۲۲۲۲۲۲۸. ۲۴۲۲۲۲۲۲۹. ۲۴۲۲۲۲۲۲۱۰. ۲۴۲۲۲۲۲۲۱۱. ۲۴۲۲۲۲۲۲۱۲. ۲۴۲۲۲۲۲۲۱۳. ۲۴۲۲۲۲۲۲۱۴. ۲۴۲۲۲۲۲۲۱۵. ۲۴۲۲۲۲۲۲۱۶. ۲۴۲۲۲۲۲۲۱۷. ۲۴۲۲۲۲۲۲۱۸. ۲۴۲۲۲۲۲۲۱۹. ۲۴۲۲۲۲۲۲۲۰. ۲۴۲۲۲۲۲۲۲۱. ۲۴۲۲۲۲۲۲۲۲. ۲۴۲۲۲۲۲۲۲۳. ۲۴۲۲۲۲۲۲۲۴. ۲۴۲۲۲۲۲۲۲۵. ۲۴۲۲۲۲۲۲۲۶. ۲۴۲۲۲۲۲۲۲۷. ۲۴۲۲۲۲۲۲۲۸. ۲۴۲۲۲۲۲۲۲۹. ۲۴۲۲۲۲۲۲۲۱۰. ۲۴۲۲۲۲۲۲۲۱۱. ۲۴۲۲۲۲۲۲۲۱۲. ۲۴۲۲۲۲۲۲۲۱۳. ۲۴۲۲۲۲۲۲۲۱۴. ۲۴۲۲۲۲۲۲۲۱۵. ۲۴۲۲۲۲۲۲۲۱۶. ۲۴۲۲۲۲۲۲۲۱۷. ۲۴۲۲۲۲۲۲۲۱۸. ۲۴۲۲۲۲۲۲۲۱۹. ۲۴۲۲۲۲۲۲۲۲۰. ۲۴۲۲۲۲۲۲۲۲۱. ۲۴۲۲۲۲۲۲۲۲۲. ۲۴۲۲۲۲۲۲۲۲۳. ۲۴۲۲۲۲۲۲۲۲۴. ۲۴۲۲۲۲۲۲۲۲۵. ۲۴۲۲۲۲۲۲۲۲۶. ۲۴۲۲۲۲۲۲۲۲۷. ۲۴۲۲۲۲۲۲۲۲۸. ۲۴۲۲۲۲۲۲۲۲۹. ۲۴۲۲۲۲۲۲۲۲۱۰. ۲۴۲۲۲۲۲۲۲۲۱۱. ۲۴۲۲۲۲۲۲۲۲۱۲. ۲۴۲۲۲۲۲۲۲۲۱۳. ۲۴۲۲۲۲۲۲۲۲۱۴. ۲۴۲۲۲۲۲۲۲۲۱۵. ۲۴۲۲۲۲۲۲۲۲۱۶. ۲۴۲۲۲۲۲۲۲۲۱۷. ۲۴۲۲۲۲۲۲۲۲۱۸. ۲۴۲۲۲۲۲۲۲۲۱۹. ۲۴۲۲۲۲۲۲۲۲۲۰. ۲۴۲۲۲۲۲۲۲۲۲۱. ۲۴۲۲۲۲۲۲۲۲۲۲. ۲۴۲۲۲۲۲۲۲۲۲۳. ۲۴۲۲۲۲۲۲۲۲۲۴. ۲۴۲۲۲۲۲۲۲۲۲۵. ۲۴۲۲۲۲۲۲۲۲۲۶. ۲۴۲۲۲۲۲۲۲۲۲۷. ۲۴۲۲۲۲۲۲۲۲۲۸. ۲۴۲۲۲۲۲۲۲۲۲۹. ۲۴۲۲۲۲۲۲۲۲۲۱۰. ۲۴۲۲۲۲۲۲۲۲۲۱۱. ۲۴۲۲۲۲۲۲۲۲۲۱۲. ۲۴۲۲۲۲۲۲۲۲۱۳. ۲۴۲۲۲۲۲۲۲۲۱۴. ۲۴۲۲۲۲۲۲۲۲۱۵. ۲۴۲۲۲۲۲۲۲۲۱۶. ۲۴۲۲۲۲۲۲۲۲۱۷. ۲۴۲۲۲۲۲۲۲۲۱۸. ۲۴۲۲۲۲۲۲۲۲۱۹. ۲۴۲۲۲۲۲۲۲۲۲۰. ۲۴۲۲۲۲۲۲۲۲۲۱. ۲۴۲۲۲۲۲۲۲۲۲۲. ۲۴۲۲۲۲۲۲۲۲۲۳. ۲۴۲۲۲۲۲۲۲۲۲۴. ۲۴۲۲۲۲۲۲۲۲۲۵. ۲۴۲۲۲۲۲۲۲۲۲۶. ۲۴۲۲۲۲۲۲۲۲۲۷. ۲۴۲۲۲۲۲۲۲۲۲۸. ۲۴۲۲۲۲۲۲۲۲۲۹. ۲۴۲۲۲۲۲۲۲۲۲۱۰. ۲۴۲۲۲۲۲۲۲۲۲۱۱. ۲۴۲۲۲۲۲۲۲۲۲۱۲. ۲۴۲۲۲۲۲۲۲۲۱۳. ۲۴۲۲۲۲۲۲۲۲۱۴. ۲۴۲۲۲۲۲۲۲۲۱۵. ۲۴۲۲۲۲۲۲۲۲۱۶. ۲۴۲۲۲۲۲۲۲۲۱۷. ۲۴۲۲۲۲۲۲۲۲۱۸. ۲۴۲۲۲۲۲۲۲۲۱۹. ۲۴۲۲۲۲۲۲۲۲۲۰. ۲۴۲۲۲۲۲۲۲۲۲۱. ۲۴۲۲۲۲۲۲۲۲۲۲. ۲۴۲۲۲۲۲۲۲۲۲۳. ۲۴۲۲۲۲۲۲۲۲۲۴. ۲۴۲۲۲۲۲۲۲۲۲۵. ۲۴۲۲۲۲۲۲۲۲۲۶. ۲۴۲۲۲۲۲۲۲۲۲۷. ۲۴۲۲۲۲۲۲۲۲۲۸. ۲۴۲۲۲۲۲۲۲۲۲۹. ۲۴۲۲۲۲۲۲۲۲۲۱۰. ۲۴۲۲۲۲۲۲۲۲۲۱۱. ۲۴۲۲۲۲۲۲۲۲۲۱۲. ۲۴۲۲۲۲۲۲۲۲۱۳. ۲۴۲۲۲۲۲۲۲۲۱۴. ۲۴۲۲۲۲۲۲۲۲۱۵. ۲۴۲۲۲۲۲۲۲۲۱۶. ۲۴۲۲۲۲۲۲۲۲۱۷. ۲۴۲۲۲۲۲۲۲۲۱۸. ۲۴۲۲۲۲۲۲۲۲۱۹. ۲۴۲۲۲۲۲۲۲۲۲۰. ۲۴۲۲۲۲۲۲۲۲۲۱. ۲۴۲۲۲۲۲۲۲۲۲۲. ۲۴۲۲۲۲۲۲۲۲۲۳. ۲۴۲۲۲۲۲۲۲۲۲۴. ۲۴۲۲۲۲۲۲۲۲۲۵. ۲۴۲۲۲۲۲۲۲۲۲۶. ۲۴۲۲۲۲۲۲۲۲۲۷. ۲۴۲۲۲۲۲۲۲۲۲۸. ۲۴۲۲۲۲۲۲۲۲۲۹. ۲۴۲۲۲۲۲۲۲۲۲۱۰. ۲۴۲۲۲۲۲۲۲۲۲۱۱. ۲۴۲۲۲۲۲۲۲۲۲۱۲. ۲۴۲۲۲۲۲۲۲۲۲۱۳. ۲۴۲۲۲۲۲۲۲۲۲۱۴. ۲۴۲۲۲۲۲۲۲۲۲۱۵. ۲۴۲۲۲۲۲۲۲۲۲۱۶. ۲۴۲۲۲۲۲۲۲۲۲۱۷. ۲۴۲۲۲۲۲۲۲۲۲۱۸. ۲۴۲۲۲۲۲۲۲۲۲۱۹. ۲۴۲۲۲۲۲۲۲۲۲۲۰. ۲۴۲۲۲۲۲۲۲۲۲۱. ۲۴۲۲۲۲۲۲۲۲۲۲۲. ۲۴۲۲۲۲۲۲۲۲۲۲۳. ۲۴۲۲۲۲۲۲۲۲۲۲۴. ۲۴۲۲۲۲۲۲۲۲۲۵. ۲۴۲۲۲۲۲۲۲۲۲۶. ۲۴۲۲۲۲۲۲۲۲۲۷. ۲۴۲۲۲۲۲۲۲۲۲۸. ۲۴۲۲۲۲۲۲۲۲۲۹. ۲۴۲۲۲۲۲۲۲۲۲۱۰. ۲۴۲۲۲۲۲۲۲۲۲۱۱. ۲۴۲۲۲۲۲۲۲۲۲۱۲. ۲۴۲۲۲۲۲۲۲۲۲۱۳. ۲۴۲۲۲۲۲۲۲۲۲۱۴. ۲۴۲۲۲۲۲۲۲۲۲۱۵. ۲۴۲۲۲۲۲۲۲۲۲۱۶. ۲۴۲۲۲۲۲۲۲۲۲۱۷. ۲۴۲۲۲۲۲۲۲۲۲۱۸. ۲۴۲۲۲۲۲۲۲۲۲۱۹. ۲۴۲۲۲۲۲۲۲۲۲۲۰. ۲۴۲۲۲۲۲۲۲۲۲۱. ۲۴۲۲۲۲۲۲۲۲۲۲۲. ۲۴۲۲۲۲۲۲۲۲۲۲۳. ۲۴۲۲۲۲۲۲۲۲۲۲۴. ۲۴۲۲۲۲۲۲۲۲۲۵. ۲۴۲۲۲۲۲۲۲۲۲۶. ۲۴۲۲۲۲۲۲۲۲۲۷. ۲۴۲۲۲۲۲۲۲۲۲۸. ۲۴۲۲۲۲۲۲۲۲۲۹. ۲۴۲۲۲۲۲۲۲۲۲۱۰. ۲۴۲۲۲۲۲۲۲۲۲۱۱. ۲۴۲۲۲۲۲۲۲۲۲۱۲. ۲۴۲۲۲۲۲۲۲۲۲۱۳. ۲۴۲۲۲۲۲۲۲۲۲۱۴. ۲۴۲۲۲۲۲۲۲۲۲۱۵. ۲۴۲۲۲۲۲۲۲۲۲۱۶. ۲۴۲۲۲۲۲۲۲۲۲۱۷. ۲۴۲۲۲۲۲۲۲۲۲۱۸. ۲۴۲۲۲۲۲۲۲۲۲۱۹. ۲۴۲۲۲۲۲۲۲۲۲۲۰. ۲۴۲۲۲۲۲۲۲۲۲۱. ۲۴۲۲۲۲۲۲۲۲۲۲۲. ۲۴۲۲۲۲۲۲۲۲۲۳. ۲۴۲۲۲۲۲۲۲۲۲۴. ۲۴۲۲۲۲۲۲۲۲۲۵. ۲۴۲۲۲۲۲۲۲۲۲۶. ۲۴۲۲۲۲۲۲۲۲۲۷. ۲۴۲۲۲۲۲۲۲۲۲۸. ۲۴۲۲۲۲۲۲۲۲۲۹. ۲۴۲۲۲۲۲۲۲۲۲۱۰. ۲۴۲۲۲۲۲۲۲۲۲۱۱. ۲۴۲۲۲۲۲۲۲۲۲۱۲. ۲۴۲۲۲۲۲۲۲۲۲۱۳. ۲۴۲۲۲۲۲۲۲۲۲۱۴. ۲۴۲۲۲۲۲۲۲۲۲۱۵. ۲۴۲۲۲۲۲۲۲۲۲۱۶. ۲۴۲۲۲۲۲۲۲۲۲۱۷. ۲۴۲۲۲۲۲۲۲۲۲۱۸. ۲۴۲۲۲۲۲۲۲۲۲۱۹. ۲۴۲۲۲۲۲۲۲۲۲۲۰. ۲۴۲۲۲۲۲۲۲۲۲۱. ۲۴۲۲۲۲۲۲۲۲۲۲۲. ۲۴۲۲۲۲۲۲۲۲۲۳. ۲۴۲۲۲۲۲۲۲۲۲۴. ۲۴۲۲۲۲۲۲۲۲۲۵. ۲۴۲۲۲۲۲۲۲۲۲۶. ۲۴۲۲۲۲۲۲۲۲۲۷. ۲۴۲۲۲۲۲۲۲۲۲۸. ۲۴۲۲۲۲۲۲۲۲۲۹. ۲۴۲۲۲۲۲۲۲۲۲۱۰. ۲۴۲۲۲۲۲۲۲۲۲۱۱. ۲۴۲۲۲۲۲۲۲۲۲۱۲. ۲۴۲۲۲۲۲۲۲۲۲۱۳. ۲۴۲۲۲۲۲۲۲۲۲۱۴. ۲۴۲۲۲۲۲۲۲۲۲۱۵. ۲۴۲۲۲۲۲۲۲۲۲۱۶. ۲۴۲۲۲۲۲۲۲۲۲۱۷. ۲۴۲۲۲۲۲۲۲۲۲۱۸. ۲۴۲۲۲۲۲۲۲۲۲۱۹. ۲۴۲۲۲۲۲۲۲۲۲۲۰. ۲۴۲۲۲۲۲۲۲۲۲۱. ۲۴۲۲۲۲۲۲۲۲۲۲۲. ۲۴۲۲۲۲۲۲۲۲۲۳. ۲۴۲۲۲۲۲۲۲۲۲۴. ۲۴۲۲۲۲۲۲۲۲۲۵. ۲۴۲۲۲۲۲۲۲۲۲۶. ۲۴۲۲۲۲۲۲۲۲۲۷. ۲۴۲۲۲۲۲۲۲۲۲۸. ۲۴۲۲۲۲۲۲۲۲۲۹. ۲۴۲۲۲۲۲۲۲۲۲۱۰. ۲۴۲۲۲۲۲۲۲۲۲۱۱. ۲۴۲۲۲۲۲۲۲۲۲۱۲. ۲۴۲۲۲۲۲۲۲۲۲۱۳. ۲۴۲۲۲۲۲۲۲۲۲۱۴. ۲۴۲۲۲۲۲۲۲۲۲۱۵. ۲۴۲۲۲۲۲۲۲۲۲۱۶. ۲۴۲۲۲۲۲۲۲۲۲۱۷. ۲۴۲۲۲۲۲۲۲۲۲۱۸. ۲۴۲۲۲۲۲۲۲۲۲۱۹. ۲۴۲۲۲۲۲۲۲۲۲۲۰. ۲۴۲۲۲۲۲۲۲۲۲۱. ۲۴۲۲۲۲۲۲۲۲۲۲۲. ۲۴۲۲۲۲۲۲۲۲۲۳. ۲۴۲۲۲۲۲۲۲۲۲۴. ۲۴۲۲۲۲۲۲۲۲۲۵. ۲۴۲۲۲۲۲۲۲۲۲۶. ۲۴۲۲۲۲۲۲۲۲۲۷. ۲۴۲۲۲۲۲۲۲۲۲۸. ۲۴۲۲۲۲۲۲۲۲۲۹. ۲۴۲۲۲۲۲۲۲۲۲۱۰. ۲۴۲۲۲۲۲۲۲۲۲۱۱. ۲۴۲۲۲۲۲۲۲۲۲۱۲. ۲۴۲۲۲۲۲۲۲۲۲۱۳. ۲۴۲۲۲۲۲۲۲۲۲۱۴. ۲۴۲۲۲۲۲۲۲۲۲۱۵. ۲۴۲۲۲۲۲۲۲۲۲۱۶. ۲۴۲۲۲۲۲۲۲

استفاده شده برای وسترن بلاستینگ، و آنتی بادی نشان دار شده با FITC و انجام آزمون IFA بر روی آنان (شکل ۸)، فلورسانس مشاهده شده در نمونه های مثبت قبلی و منطبق بر همان نواحی مشاهده شده در آزمون های قبلی (شکل ۹ - الف) و عدم رؤیت آن در نمونه قبل از القاء و نمونه ناقد ژن حتی پس از القاء (شکل ۹ - ب) مبین بیان ژن و تأیید وجود پروتئین در سیتوzuول سلول ترانسفورم شده می باشد.



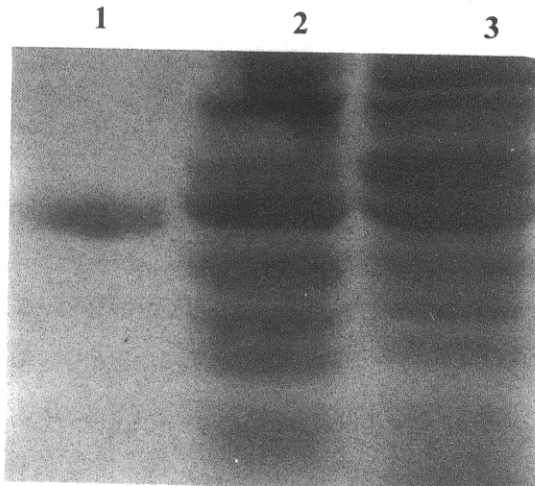
شکل ۸. نتایج الکتروفورز مایع رویی حاصل از شکسته شدن سلول ها مخمر القاء شده در ژل ۱۲ SDS-PAGE. مشاهده باندهای پروتئینی هماندازه و بزرگتر (ردیف ۴) از rgp63 تخلیص شده از E.coli (ردیف ۳) و عدم رؤیت آنها در مایع رویی حاصل از شکسته شدن سلول های کنترل منفی بعداز القاء (ردیف ۱) تأیید کننده بیان ژن gp63 در مخمر های متعلق به کلون شماره ۲۶ می باشد. ردیف ۲ سایز مارکر پروتئینی MW می باشد.

آزمون سنجش فعالیت آنزیمی در SDS-PAGE gelatin gel فعال بودن متالوپروتئیناز نوترکیب را نیز نشان داد (شکل ۱۰). همان گونه که مشاهده می گردد، نواحی هضم شده از ژل فوق توسط نمونه های متعلق به ترانسفورمانت شماره ۲۶ (ردیف های ۲ و ۳) حاوی مقادیر ۱۰ و ۶۰ میکرو لیتر از مایع رویی (به ترتیب) در منطقه ای مشابه ناحیه هضم شده توسط ۱۰ و ۶۰ اندازه (وزن مولکولی) دال بر فعالیت آنزیمی مولکول rgp63 تولید شده توسط مخمر می باشد، زیرا رنگ آمیزی نواحی هضم شده توسط کوماسی بلو امکان پذیر نمی باشد. عدم فعالیت آنزیمی در نمونه ای که قبل از فعالیت داشته است، پس از مجاورت آن با یدو استامید و

۲۶) تأیید کردند. پس از کشت کلون های مزبور در محیط حاوی گلیسرول و سپس انتقال آنها به محیط حاوی متابول، محیط کشت و القاء و همچنین رسوب سلولی آنها از جهت تولید پروتئین نوترکیب rgp63 با ژل SDS-PAGE ۱۲ درصد مورد ارزیابی قرار گرفت. در محیط کشت والقاء آنها، حتی پس از تغییض با TCA و یا فیلتر های آمیکون پروتئینی هماندازه و یا بزرگتر از rgp63 تخلیص شده از E.coli، که با آنتی بادی اختصاصی هم واکنش نماید، مشاهده نگردید. ولی در مایع رویی حاصل از شکسته شدن رسوب سلول های القاء شده باندهای پروتئینی هماندازه و سنگین تر (شکل ۸، ردیف ۴) از پروتئین نوترکیب rgp63 تخلیص شده از E.coli (شکل ۸، ردیف ۳)، مشاهده گردید. پروتئین فوق در نمونه کنترل منفی که با پلاسمید pHIL-S1 به تنها ای ترانسفورم شده بود، حتی پس از القاء مشاهده نگردید (شکل ۸، ردیف ۱). عدم وجود باند پروتئینی مزبور در نمونه های رشد یافته در محیط حاوی گلیسرول به تنها (همان نمونه ها) به عنوان نمونه های قبل از القاء بیانگر آن است که القاء با متابول سبب تولید پروتئین فوق گردیده است. این مشاهده با موارد مورد انتظار، یعنی؛ کلون نمودن ژن gp63 تحت کنترل پرомуوتور ژن الكل اکسیداز-۱ مخمر مطابقت کامل دارد. این مشاهده با موارد مورد انتظار، یعنی؛ کلون نمودن ژن gp63 تحت کنترل پرомуوتور ژن الكل اکسیداز-۱ مخمر مطابقت کامل دارد. وسترن بلاستینگ وجود دو باند پروتئینی با قابلیت واکنش گری با آنتی بادی اختصاصی و در اندازه های مشابه و سنگین تراز پروتئین نوترکیب بیان شده در E.coli و عدم وجود باندهای پروتئینی مشابه در نمونه کنترل منفی و همچنین نتایج آزمون ایمونوالکترون میکروسکوپی دال بر تأیید تولید پروتئین نوترکیب فوق توسط مخمر های متعلق به کلون های یاد شده می باشد.

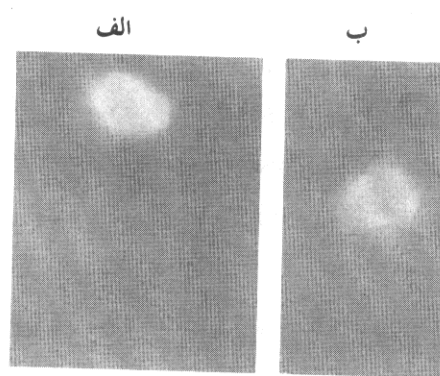
پس از القاء مجدد نمونه های فوق و تهیه رسوب سلولی آنها و تثیت آن با گلوتارآلدئید و تراکسید اسمیم، برش های تهیه شده از آنها بر روی پولک (گرید) قرار گرفته و با استفاده از همان آنتی بادی اختصاصی

پروتئینی مورد نظر که سنگین تر (شکل ۱۱، ردیف ۳) از rgp63 تخلیص شده از E.coli (شکل ۱۱، ردیف ۱) بودند، پس از مجاورت با آندوگلیکوزیداز F، کاهش یافت (شکل ۱۱، ردیف ۲).

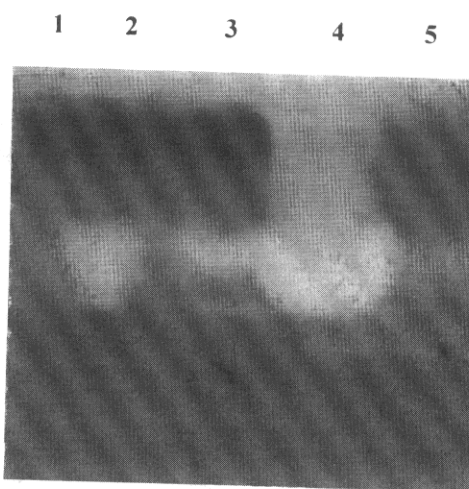


شکل ۱۱. کاهش وزن مولکولی تعدادی از باندهای پروتئینی موجود در مایع رویی حاصل از شکسته شدن سلول‌های مخمر حاوی ژن القاء شده، پس از مجاورت آن با آندوگلیکوزیداز F.
3=26/AI2, 2=26/AI+PNGF, 1=rgp63

EDTA دال بر حساس بودن rgp63 بیان شده در مخمر نوترکیب در مقابل مواد ذکر شده با غلظت‌های فوق می‌باشد.



شکل ۹. تأیید بیان ژن gp63 توسط مخمر ترانسفورمنت شماره ۲۶ با روش ایمونوفلورسانس. مخمر واحد ژن gp63 (الف) و مخمر فاقد ژن gp63 (ب).



شکل ۱۰. ارزیابی فعالیت rgp63 بیان شده توسط مخمر نوترکیب SDS-PAGE Gelatin Gel در P.pastoris.

1=28/AI, CTRL(-), 2 & 3=60 & 10 uL of 26/AI
4=&5= 60 & 10 uL of Crud lysate of L.major

نتایج آزمون دگلیکوزیلاسیون PNGase-F نیز نشان داد که گلیکوزیلاسیون باعث افزایش وزن مولکولی باندهای بیش از ۵۳ کیلو Daltonی متالوپروتئیناز نوترکیب می‌باشد. زیرا وزن مولکولی (MV) تعدادی از باندهای پروتئینی موجود در مایع رویی حاصل از شکست مخمرهای حاوی ژن پس ازالق، از جمله باندهای

فرم دگلیکوزیله hIL-17 می باشد. سکانس ۱۰ اسید آمینه اول هر دو باند پروتئینی فوق (از N ترمینال آنها) نشان داد که این اسیدهای آمینه در هر دو باند فوق یکسان می باشند. هضم hIL-17 با PNGase F منجر به حذف باند ۲۰KDa و افزایش غلظت باند ۱۶KDa گردید. بنابراین، افزایش وزن مولکولی آن نتیجه N-گلیکوزیلاسیون پروتئین فوق می باشد [۱۴].

- گاها پردازش ناکامل سیگنال پیتید نیز می‌تواند منجر به تولید باندهای پروتئینی سنگین‌تر از همتاهاي طبیعی آنان گردد.

تولید دو باند (Wheat lipid transfer protein) در اندازه‌های ۱۰ kDa و ۱۴ kDa، باند WLTP (۱۳۶۸۰ Da) مربوط به پروتئین پردازش نشده است که بخش‌هایی از سکانس سیگنالی اسید فسفاتاز و همچنین سکانس سنتیک رهبر (Leader) که در داخل Construct جاسازی شده، بریده نشده و بنابراین کد شده بود [۷].

pHIL-D2prepro ترانسفورم شده با *P. pastoris*-alfa-S (حاوی cDNA سلولی آلفا-سارسین با سکانس Leader peptide خود ژن) و همچنین pHIL-S1prepro alfa-S (حاوی cDNA سلولی آلفا-سارسین ممزوج شده با سکانس سیگنال ترشحی اسید فسفاتاز PHO1 مخمر)، قر دو فرم کامل Mature و Pro-alfa-sarcin را ترشح مودند. وجود Pro-alfa-sarcin در محیط خارج سلولی مخمر ناشی از تشخیص ناکارآمد توسط یک آندوپپتیداز شباهه پروتئین Kex2 مشهور، بوده است [۱۵].

تجزیه زیستی پروتئین فوق تحت تأثیر عوامل مختلف از جمله پروتئازها که مشکل لاینحلی را در کار با مخمر می‌نمایند ممکن است منجر به رویت باندهای کوچکتر از ۵۲ کیلودالتون، نیز منتهی شود.

بنابراین، تولید پروتئین هترولوگ با اندازه کوچکتر از فرم دگلیکوزیله نیز همانند آنچه که در واکنش با آنتی بادی شماره ۲۳۵ دیده شد نیز مقدور می باشد. به ذکر موردی در این خصوص بسته می گردد، با استفاده از سویه معیوب از نظر تولید کربوکسی پپتیداز y (pep4) (Zn²⁺)

شده و حجم گلیکوزیلاسیون دور از انتظار نخواهد بود. بدینهی است که اگر هیپرگلیکوزیلیشن هم اتفاق افتد باندهای پروتئینی بزرگتر از ۶۳ کیلو دالتونی هم با توجه به حجم گلیکوزیلیشن دیده خواهد شد. بنابراین، بیان ژن gp63 در مخمر *P. pastoris* به صورت بیش از یک بازند پروتئینی در اندازه‌های ۵۳ kDa (معادل فرم غیرگلیکوزیله rgp63) و سنگین‌تر دور از انتظار نبوده است. نتایج این پژوهش با بیان گلیکوپروتئین‌های ذیل در قابا مقاسه مم باشد:

- تولید پروتئین دومن خارج سلولی TGF-Beta (یک ممانتع کننده soluble RII و دارای KDa N-گلیکوزیلاسیون) به صورت یک باند ۲۵ همراه با یک اسمیر تا KDa ۶۰. باندهای پروتئینی فوق پس از مجاورت با آندوگلیکوزیداز F، به یک تک باند ۲۲ KDa تبدیل شدند [۱۲].

- بیان شدن ژن مربوط به دومن خارج سلولی HTF در سویه SMD1168 (Human tissue factor) مخمر P. pastoris (معیوب از نظر تولید پروتئاز B) منجر به تولید سه باند پروتئینی متمایز با اندازه های KDa ۵۴-۳۷-۲۱۹ در SDS-PAGE گردید. دومن خارج سلولی hTF دارای N-گلیکوزیلاسیون می باشد. هر سه باند فوق توسط یک آنتی بادی مونوکلونال اختصاصی تشخیص داده شدند. قرارگیری باندهای فوق در معرض Endoglycosidase H نشان داد که سه باند فوق نتیجه ای از گلیکوزیلاسیون افتراقی این مولکول هستند، زیرا مجاور کردن سه باند فوق با Endo H منجر به تولید یک باند با MW=۳۳KDa گردید [۱].

- پروتئین E در ویروس Dengue Tip ۱ (DEN-1)، الگوی مخلوطی از گلیکوزیلاسیون دو باند آنتی ژنیک 65 KDa (مولکول کامل پروتئین E) ویروس dengue Tip ۱، ۵۰ kDa (DEN-1) را به نمایش گذاشت [۱۰].

- مخمر نوترکیب (واجد ژن hIL-17) دو باند پروتئینی با اوزان ۲۰ KDa و ۱۶ KDa گلیکوزیله و باند

پروتئین‌های هتروولوگ بیان شده توسط مخمر، استفاده از روش Immune-electron microscopy (IEM) نیز برای تائید بیان و یا عدم بیان ژن خارجی کلون شده در مخمر نوترکیب و همچنین تعیین جایگاه سلولی تجمع پروتئین فوق یک روش پذیرفته شده است. برای مثال، پس از القاء با مтанول، ایمونوبلات وجود یک باند آنتی‌ژنتیک اختصاصی GS115/CprME ۶۵KDa را در محیط کشت به اثبات رساند. این وزن مولکولی برای پروتئین E گلیکوزیله و پردازش شده بطور صحیح مطابقت دارد. بر عکس، هیچ پروتئین E نوترکیب، DEN-1، در محیط کشت علیرغم تکرار غربالگری مشاهده نگردید. هضم پروتولویتیکی وسیع پروتئین E ویروس-1 DEN-1 بیان شده و همچنین پروتئین E ویروس JEV (ویروس آنسفالیت ژاپنی) در مخمر توسط فعالیت یک پروتئاز ناشناخته مخمری مشاهده شد [۲۲]. با توجه به رویت دو باند کاملاً مجزا در وسترن با آنتی‌بادی اختصاصی، هم اندازه با پروتئین بیان شده در *E.coli* و بزرگ‌تر از آن (شکل ۹) دال بر تولید پروتئین فوق به دو فرم گلیکوزیله کامل و غیرگلیکوزیله می‌باشد. نتایج آزمون دگلیکوزیلاسیون نیز می‌بین این اتفاق می‌باشد (شکل ۱۱).

تشکر و قدردانی

هزینه این تحقیق، توسط سازمان‌های TDR، بانک جهانی، UNDP و گرانت شماره ID#961011 TDR و TDR ID#961011 نیز نهاد ریاست جمهوری اسلامی ایران تامین است. از تمام همکاران و پرسنل بخش بیوتکنولوژی، به ویژه آقای دکتر حبیبی، آقای دکتر معین، آقای دکتر عزیزی، آقای عادلی، از همکاران بخش ایمنولوژی آقای دکتر خبیری، آقای دکتر میرجلیلی، خانم دکتر ملکزاده، همکاران بخش میکروسکوپ الکترونی به ویژه آقای سیدی پور و سرکار خانم طائب با حمایت‌های عملی خود امکان انجام این تحقیق را فراهم نموده‌اند، تقدیر و تشکر می‌شود.

سویه SMD1168 [۱۸] و همچنین استفاده از وکتور ترشحی با سیگنال پپتید آلفا- فاکتور (پلاسمید دو میزبانه pIC9) برای تولید آندوستاتین (انسانی و موشی) علاوه بر تولید ملکول کامل، ملکول‌های پروتئینی کوتاه شده (دو باند) بویژه از ناحیه کربوکسیل پروتئین نیز تولید شده [۴]. بنابراین، ناپایداری gp63 تولید شده توسط مخمر *P. pastoris* و همچنین مشاهده باند پروتئین کوتاه شده آن در وسترن بلاستینگ با متوکلونال آنتی‌بادی اختصاصی ۲۳۵ با توجه به تجربیات اندیشمندانی چون Boehme و همکارانش نیز کاملاً طبیعی و در حد انتظار می‌باشد، بویژه آن که در این پروژه هم کارایی سیگنال پپتید مخمری استفاده شده در وکتور دو میزبانه pHIL-S1 (اسید فسفاتاز PHO1)، کمتر از کارایی سیگنال پپتید مخمری آلفا- فاکتور می‌باشد، به گونه‌ای که سیگنال پپتید PHO1 برای اهداف مکان یابی پروتئین‌های نوترکیب نیز کاربر دارد [۱۸] و هم میزبان مورد استفاده توسط آنها از تولید کربوکسی پپتیداز y (ژن pep4) معیوب بود. در این مطالعه از سویه‌های GS115 و KM71 مخمر به عنوان میزبان برای بیان ژن gp63 استفاده شد.

در تجربه دیگری با وجود استفاده از سویه معیوب از نظر تولید کربوکسی پپتیداز y (ژن pep4) سویه [SMD1168] [۱۹] و همچنین استفاده از وکتور ترشحی با سیگنال پپتید آلفا- فاکتور، پلاسمید دو میزبانه pIC9، باز در تولید ملکول کامل آندوستاتین (انسانی و موشی) مشکل داشتند به گونه‌ای که علاوه بر تولید ملکول کامل این پروتئین، ملکول‌های پروتئینی کوتاه شده (دو باند) بویژه از ناحیه کربوکسیل پروتئین نیز تولید می‌شد. تلاش آنها برای حذف باندهای پروتئینی کوتاه شده (و یا به عبارت دیگر فقط برای تولید پروتئین کامل) حتی با تخریب ژن KEX1 در مخمر *P. pastoris* و بهینه سازی شرایط بیان ژن آندوستاتین با موفقیت کامل همراه نبود، بلکه حداقل توانستند نسبت این دو باند کوتاه شده را نسبت به باند اصلی تقلیل دهند [۴].

با توجه به نقش پروتئازهای مخمری در تخریب

منابع

- High-level expression of tetanus toxin fragment C in *Pichia pastoris* strains containing multiple tandem integration of the gene, *Biotechnology*, 9 (1991a) 455-459.
- [9] Connell, N.D., Medina-Acesta, E., McMaster, R. and Bloom, B.R., Effective immunization against cutaneous leishmaniosis with recombinant bacille calmette-Gurein expressing the leishmania surface proteinase gp63, *Proc. Natl. Acad. Sci (USA)*, 90 (1993) 11473-11477.
- [10] Fonsacs, B.A.L., Pincus, S., Shope, R. E., Paoletti, E. and Mason, P. W., Recombinant vaccinia viruses co-expressing dengue-1 glycoproteins prM and E induce neutralising antibodies in mice, *Vaccine*, 12 (1994) 279-285.
- [11] Giecheru, M.M. and Olobo, J.O., Evaluation of recombinant Gp63, The major Leishmania surface glycoprotein, as a diagnostic molecule for Leishmaniasis in vervet monkeys, *Acta Trop.*, 58 (1994) 45-348.
- [12] Harrie, L.G., Glansbeek, H. M., Van B., Elly, L. Vitters, P. M. Vanderm, K. and Wim, B., Expression of recombinant human soluble type II transforming growth factor- β receptor in *Pichia pastoris* and *Escherichia coli*: two powerful systems to express a potent inhibitor of transforming growth factor- β , *Protein Express. Purif.*, 12(1998) 201-207.
- [13] Hyun, A.H., Kang, Jung-Hoon Sohn; Eui-Sungchoi; Bong Hyun Chung; Meyonng-Hee, Yu ANA Sang-ki Rhee;
- [1] Abdulaev, N.G., Popp, M.P., Smith, W. C. and Ridge, K. D., Functional expression of bovin opsin in the methylotrophic yeas; *Pichia pastoris*, *Protein Express. Purif.*, 10 (1997) 61-69.
- [2] Angela, J., Austin, C. E. J. and Ginovan H.. Production of human tissue factor using the *Pichia pastoris* expression system, *Protein Express. Purif.*, 13 (1998) 136-142.
- [3] Ashford, R.W., Desjeuc, P. and Deradt, P., Estimation of population at risk infection with Leishmaniasis, *Parasitol. Today*, 8(1992) 104-105.
- [4] Boehm, T., Pirie-Shepherd, S., Trinh, L. B., Shiloach, J. and Folkman, J., Disruption of the KEX1 gene in *Pichia pastoris* allows expression of full-length murine and human endostatin, *Yeast* 15 (1999) 563-572.
- [5] Bordier , C. The promastigote surface of Leishmania, *Parasitol. Today*, 2(1987) 473-479.
- [6] Botton, L.L., Reiner, N.E. and McMaster, W.R., Modification Gp63 genes from divers species of Leishmania for expression of recombinant protein at high levels in *E.coli*, *Mol. Biochem. Parasitol.*, 44 (1991) 213-224.
- [7] Cecile, K., Ferederic de Lamotte, G., Francois, G., Guy Moulin, H. B., Philippe, J. and Marie-Francoise, G., High-level secretion of a wheat lipidTransfer protein in *Pichia pastoris*, *Protein Express. Purif.*, 13 (1998) 73-82.
- [8] Clare J.J., Rayment, F.B., Ballantine, S.P., Sreekrishna, K. and Romanos, M.A.,

- [20] Russell, D. G. and Alexander, J., Effective immunization against cutaneous Leishmaniasis with defiend membrane antigens reconstituted into liposomes, *J. Immunol.*, 140 (1988) 1274-1279.
- [21] Russell, D.G. and Wilhelm, H., The involvment of glycoprotein (gp63) of Leishmania promastigotes in attachment to macrophages, *J. Immunol.*, 136(1986) 2613-2620.
- [22] Sugrue, R. J., Fu, J., Howe, J., and Chan, Y. C., Expression of the dengue virus structural proteins in Pichia pastoris leads to the generation of virus-like particles, 78 (1997) 1861-1866.
- [23] Xu, D., Ssorley, M., Chatfield, S.J., Dougani, S.N. and Liew, F.Y., Protection against Leishmania major infection in genetically susceptible BALB/ C mice by Gp63 delivered orally in attenuated salmonella typhimulium (ArOA-, ArOD-), *Immunology*, 85 (1995) 1-7.
- [24] Yang, D.M., Fairweather, N., Botton L.L., McMaster, W.R., Kahi, L.P., Leiw, F.Y., Salmonella typhimurium (AroA-) vaccine expressing major Leishmania surface protein (gp63) preferentially induces T-helper1 cells and protective immunity against Leishmaniasis, *J. Immunol.*, 145 (1990) 2281-2285.
- [25] Kevin, M., Murphy, J.R., Gagne, P., Pazmany, C. and Moody, M. D., Expression of human interleukin-17 in Pichia pastoris: purification and characterization, *Protein Express. Purif.*, 12 (1998)208-214.
- [26] Martinez-Ruiz, A., Martinez del Pozo, A., Lacadena, J., Mancheno, T. M., Onaderra, M., Lopez-Otin, N., and Gavilanes, J. G., Secretion of recombinant pro and mature alpha-sacrin ribotoxin by the methylotrophic yeast Pichia pastoris: the Lys-Arg motif is rrquired for mutation, *Protein Express. Purif.*, 12 (1998) 315-322.
- [27] Mcs and sorley S.J., XU, D., Liew, F.Y., Vaccine efficacy of salmonella strains expressing glycoprotein 63 with different promoters, *Infec. Immunity*, 65 (1997) 171-178.
- [28] Michael, R., Christopher, E. and Bussineau,B., Quality and authenticity of heterologous proteins synthesized in yeast, *Curr. Opinn. Bioteecnol.*, 7 (1996) 525-530.
- [29] Najmoutin, G., Abdulaev, N. G. and Kevin, D. R., Heterologous expression of bovin opsin in Pichia pastoris, *Methods Enzymol.*, 315 (2000)3-11.
- [30] Ohi, H., Cregg, J. M., Verdick, T.S. and Raschke, W. C., Recent advances in the expression of foreign genes in Pichia pastoris, *Biotechnology*, 11 (1996) 905-910.
- glycosylation of human a1 -antitrypsin in saccharomyces cervisiae and methylotrophic yeasts, *Yeast*, 14 (1998) 371-381.